

## 1. まえがき

流砂量算定式については、既に多くの計算法が発表され実用されているが、その精度や適用条件について疑問視されているものもあるので、掃流砂については実際河川の資料と、浮流砂については実験水路の資料を用いて、その計算精度を比較し、計算法の問題点を明らかにした。

## 2. 掃流砂量算定式

実測資料は肱川・肱川橋におけるものと、長良川・長良橋における出水中のものと、土研式掃流採砂器を用いて観測されたものである。検討した算定式は、佐藤・吉川・芦田式、Einstein式、修正Einstein式で、肱川橋の結果を図-1に示す。実測流砂量の変動が大きく精度が悪いが、3者のうちでは1番土研式が近い。なお、これらの計算式は平均粒径を用いた单一粒径の計算である。

図-2は肱川橋の観測資料の粒度分布を示したもので、河床砂の粒度分布を用いてそれぞれ粒径別の流砂量を求めその粒度分布を比較したものである。その結果土研式の粒度分布は実測値との適合性がよいが、Einstein及び修正Einsteinによる粒度分布は細粒砂の量が極端に少ない。これは、Einstein法で用いられる遮蔽効果を表わす係数 $\beta$ が大き過ぎることが指摘されてきたが、肱川橋と長良川橋の実測資料の粒径別流砂量から $Y = (\beta/\beta_*)^2$ の値はEinsteinの提案したものと用いて $\beta$ を逆算した所図-3の結果を得た。図中破線は浅田・石川が実験水路のデータから得たものである。この結果から、 $\beta$ の値はEinsteinの提案したものよりかなり小さいと見える。

## 3. 浮流砂量算定式

U.S. Geological Surveyで行った流砂に関する詳細な実験結果を用いて、Einstein、Lane-Kalinske、Laursenの3つの算定式について検討を行った。これらの算定式による流砂量と実測値の比較を図-4～5に示す。三者のうちではLaursenの方法が最も適合性がよく、Lane-Kalinskeの方法では計算値が極端に少なく $d_m=0.93\text{mm}$ のケースでは浮流砂量が0になってしまっている。

## (1) Lane-Kalinskeの算定式に対する検討

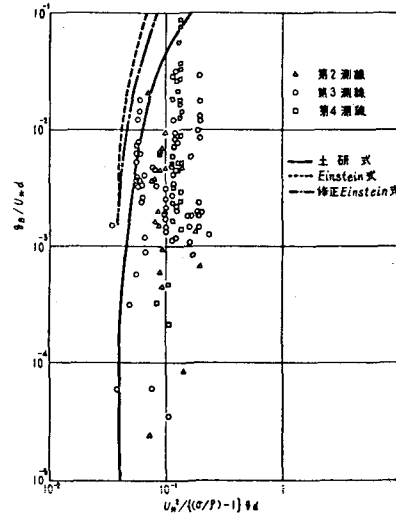


図-1 肱川・肱川橋における掃流砂量

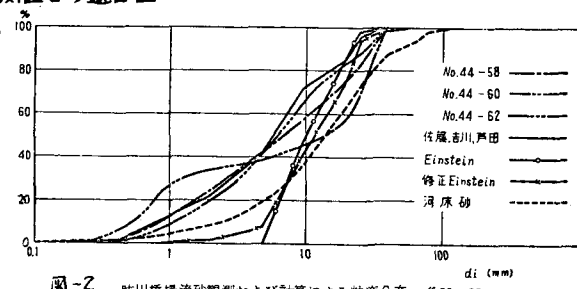


図-2 肱川橋掃流砂観測および計算による粒度分布 No.58～62

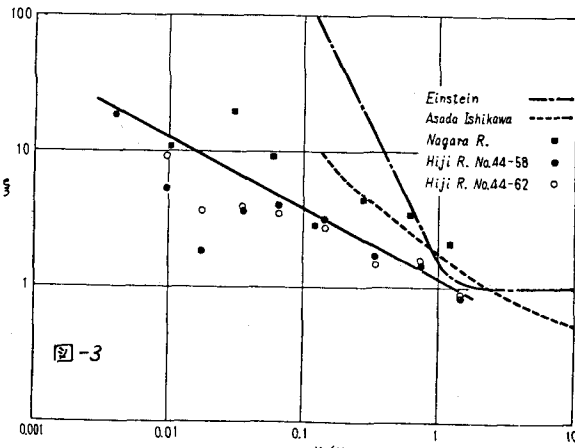


図-3

Lane-Kalinskeの計算法の問題点は、拡散係数 $E_B$ を一定とした濃度分布を用いていることと、基底濃度 $C_0$ を与える方にある。流速分布として対数式を用い、拡散係数として $\beta \cdot E_m$ を用いれば、溶流砂量 $q_s$ は次式で与えられる。

$$q_s = C_0 U_m y_0 P_{k1}, \quad P_{k1} = \left( \frac{a_1}{1-a_1} \right)^M \left( 1 + \frac{1}{K\varphi} \right) \int_{a_1}^1 (1 + \ln y_1) \left( \frac{1-y_1}{y_1} \right)^M dy_1, \quad M = \frac{W_B}{3 K u_*}, \quad y_1 = \frac{y}{y_0}, \quad a_1 = \frac{a}{y_0} \quad \dots (1)$$

$y_0$ : 水深、 $y_1$ : 河床からの高さ、これに対しても Lane-Kalinske の方法では、流砂量 $q_{sk}$ は次式で与えられる。

$$q_{sk} = C_0 U_m y_0 P_k, \quad P_k = e^{6M a_1} \int_{a_1}^1 [1 + \frac{1}{K\varphi} (1 + \ln y_1)] e^{-6M y_1} dy_1 \quad \dots (2)$$

$E_B$  = 一定とおいたことの誤差は、(1)、(2)式の差であるからこれを $\varphi = 6$ について比較したのが図-7である。 $a_1$ が小さくなると $P_{k1}$ に対し $P_k$ がかなり大きくなり、流砂量を大きく見積る効果をもつている。一方図-5によれば計算値が非常に小さく、これは $C_0$ の見積り方に問題があることがわかる。

### (2) Einstein の算定式に対する検討

Einstein は対数式の流速分布と Rouse の濃度分布式を用いており、その考え方は(1)式と同一である。 $C_0$ を与えるために浮流限界点 $a = 2d_m$ を定め、この点の浮流砂濃度を帰流砂の濃度に等しいとして

$C_0 = q_B B_B / 11.6 U_m e^a$  で与えているが、これを用いて流砂量 $q_s$ は次の如くになる。

$$q_s = q_B B_B P_{k1} / 11.6 U_m e^a \quad \dots (3)$$

$P_{k1}$ は $a_1$ の関数として図-7の如くであり、 $P_{k1} \sim a_1$ の関係が $45^\circ$ の直線であれば(3)式は $a_1$ に無関係となる。図-7の斜線とした領域はこの関係にあり、その他領域では $a_1$ のとり方によって流砂量が変化することを示している。すばわら $M$ がより大きい領域では、 $B_B$ の値が精度よく与えられることを前提にして Einstein 法の精度は比較的よいものと判断される。

Einstein 法における $K$ の減少による影響も調べたが $M = 0.5 \sim 1.0$ の場合に影響が大きく、10%の減少に対して $q_s$ が $20 \sim 40$ %も減少する効果をもつ。しかし、 $E_B = \beta E_m$ の $\beta$ の値は平均 1.3 程度であるから、 $K$ よりも $\beta$ の影響の大きい場合が多いと考えられる。終りに本計算に対する本間久枝技官の労を感謝いたします。

